



Desenvolvimento, caracterização e aplicação de uma microcélula eletroquímica sustentável para a determinação de nitrito em águas

Celso Luciano de Araújo¹* (PG), Edmar Isaias de Melo² (PQ) e Rodrigo Amorim Bezerra da Silva¹(PQ)

- ¹ Universidade Federal de Uberlândia, Instituto de Química, Uberlândia, Minas Gerais, Brasil.
- ² Universidade Federal de Uberlândia, Instituto de Química, Monte Carmelo, Minas Gerais, Brasil.
- * <u>celso.araujo@ufu.br</u> LAETE Laboratório de Analítica, Eletroquímica e Tratamento de Efluentes.

RESUMO

RESUMO – Este trabalho descreve o desenvolvimento de uma célula eletroquímica miniaturizada, sustentável e de baixo custo para a determinação de nitrito em águas. O reservatório e a tampa da célula foram impressos em 3D e contém orificios para a acomodação dos três eletrodos reutilizados (grafite de pilhas descartáveis. Na presença de sonda redox ferricianeto, a célula demonstrou desempenho eletroquímico comparável a uma célula comercial (eletrodo de carbono vítreo). A detecção de nitrito foi realizada por voltametria de onda quadrada em tampão Britton-Robinson 0,1 M (pH 2,0) em um potencial de ~ 0,90 V, sendo obtida uma ampla faixa linear (123 a 1107 μM) e baixo limite de detecção (1,00 μM). Testes de recuperação em águas de efluentes e de torneira apresentaram valores próximos a 100%, destacando a boa exatidão e o potencial da plataforma eletroquímica proposta.

Palavras-chave: Química Analítica Verde, Economia circular, Manufatura aditiva.

Introdução

A Química Analítica Verde (QAV), surgida nos anos 2000, busca tornar análises laboratoriais mais sustentáveis por meio da redução, reciclagem e reutilização de materiais e reagentes, além de menor consumo energético (1). A impressão 3D vem permitindo a criação de dispositivos analíticos miniaturizados, econômicos e com menor desperdício em comparação a técnicas de manufatura subtrativa. Na eletroquímica, essa tecnologia é empregada para desenvolver rapidamente dispositivos personalizados, como células e sensores, a custos reduzidos (2). Assim, este trabalho propõe uma célula eletroquímica impressa em 3D (tampa e reservatório), baseada nos princípios da sustentabilidade, economia circular e da QAV.

Experimental

Construção da celula eletroquímica

A tampa da célula eletroquímica foi confeccionada por meio de manufatura aditiva (impressão 3D) utilizando filamento de PETG. Para a modelagem e o fatiamento da tampa da célula, empregaram-se softwares de código aberto (FreeCAD® e Cura®, respectivamente), possibilitando posicionamento preciso dos eletrodos, além da impressão do reservatório e da base de fixação no agitador magnético. O processo de impressão foi realizado em uma impressora 3D SOVOL SV04®. Os eletrodos de trabalho (ET) e auxiliar (EA) consistiam em cilindros de grafite (4) oriundos de pilhas AA descartadas (ø = 4 mm). O eletrodo de referência (ER) de Ag/AgCl/KCl_{sat.} foi produzido a partir de um fio de prata reaproveitado de um eletrodo combinado de pH comercial danificado (membrana de vidro rompida), sendo o corpo do eletrodo constituído por uma ponteira descartável (faixa de volume: 1 a 10 µL). Todos os eletrodos (ER, EA e ET) foram

firmemente fixados em aberturas específicas na tampa da célula (figura 1). No mini reservatório (v = 100 a 400 μ L) foi inserida uma mini-barra magnética (\approx 2 mm) e um agitador magnético para promover a homogeneização das soluções analisadas.



Figura 1: A montagem da célula eletroquímica com eletrodos de trabalho e contra de grafite de pilhas

Soluções preparadas

Foram preparadas as seguintes soluções: cloreto de potássio (KCl) 0,5 M; par redox ferri-ferrocianeto([Fe(CN)₆]⁴-/[Fe(CN)₆]³-) 10 mM; tampão Britton-Robinson 0,1 M; tampão fosfato 0,1 M; tampão acetato 0,1 M; soluções estoque de nitrito (NO₂-) nas concentrações de 3 mM e 12 mM. Também foram utilizadas amostras ambientais (efluente) e água de torneira proveniente do laboratório da UFU.

Resultados e Discussão

Primeiramente os eletrodos de grafite foram caracterizados por microsocopia eletrônica de varredura (MEV) e MEV-EDS (Espectroscopia por dispersão de energia de raios X). Os resultados revelaram uma superfície rugosa (após polimento com lixa d'água) e a presença majoritária de carbono (~90%), oxigênio (~6%) e Ferro (~1%) e minoritária de alumínio, potássio, sódio, magnésio, cloro, cálcio, silício e enxofre.

Posteriormente, o dispositivo foi caracterizado eletroquimicamente por voltametria cíclica na presença de solução de ferricianeto de potássio 1 mM e eletrólito de KCl 0,5 M. Conforme apresentado na Figura 1, a reversibilidade obtida ($\Delta Ep \approx 100$ mV e $ip_a/ip_c = 0,98$) foi semelhante à obtida em uma célula convencional de maior volume e com eletrodos comerciais (ET: Carbono vítreo, EA: Platina e ER: Ag/AgCl/KCl_{sat.}) (3).

Também empregando solução de ferricianeto 1 mM, foram realizados estudos de reprodutibilidade inter-eletrodo (n = 5), no qual foi obtido um coeficiente de variação de 2,05% nas correntes de pico (ip_a e ip_c), comprovando uma boa eficiência de manufatura. Posteriormente foi realizada a detecção de nitrito por voltametria cíclica. Conforme apresentado na Figura 2, foi observado um pico anódico irreversível em aproximadamente + 0,90 V em KCl 0,1 M, perfil característico de nitrito em eletrodos de carbono.

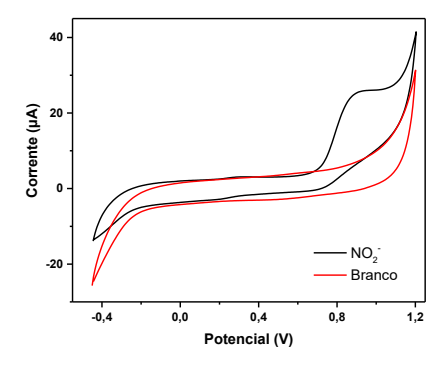


Figura 2. Voltamogramas cíclicos na ausência e presença de nitrito 462 μ M. Eletrólito: KCl 0,5 M. υ = 70 mV s⁻¹.

Estudos para a detecção de nitrito em diferentes eletrólitos suporte foram feitos em diferentes eletrólitos tampões 0,1 M em KCl 0,1 M: tampão fosfato (pH 7,2), tampão acetato (pH 4,8) e tampão Britton-Robinson/BR (pH 2,0). A maior detectabilidade foi obtida em tampão BR (pH 2,0). Entretanto, para uma melhor avaliação, a resposta de NO₂- em soluções tampão BR em diferentes pHs (2,0 a 12,0) foi avaliada, sendo obtida a maior corrente de pico em pH 2,0. As próximas medidas de nitrito foram realizadas por voltametria de onda quadrada (SWV) devido à maior detectabilidade e rapidez. Primeiramente foi realizada a otimização da técnica, no qual foram obtidos os seguintes parâmetros: frequência (f) = 30 hz; Amplitude (A) = 70 mV; Incremento de potencial (E_{step}) = 7 mV. Nesta condição foi obtida uma curva de calibração após a realização de medidas por SWV em diferentes concentrações de nitrito (123 a 1107 µM). Estes resultados são apresentados na Figura 3 e os parâmetros analíticos na Tabela 1. Empregando a SWV nas condições otimizadas, foi realizada a determinação de nitrito em água de efluente (Am. 1) e de torneira (Am. 2) pelo método da curva de calibração, não sendo detectados picos pronunciáveis. Assim, dopou-se cada amostra com NO₂- tem três níveis (1,3 mM, 2,5 mM e 8 mM) e novas quantificações foram realizadas. Como mostrado na Tabela 2, os valores de recuperação encontrados nas amostras de água foram satisfatórios (85 a 112%

para torneira e 94% a 101% para efluente), demonstrando a boa

exatidão da metodologia para a detecção de nitrito em águas.

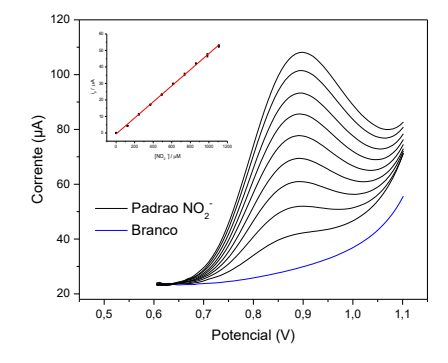


Figura 3. Voltamogramas SWV na ausência e presença de distintas concentrações de NO_2^- (123 a 1107 μ M) em eletrólito de tampão BR 0,1 M (pH 2,0) e curva de calibração (inserção). Condições: f=30 hz; A=70 mV; Incremento =7 mV.

Tabela 1. Parâmetros analíticos para a detecção de nitrito.

Parâmetro analítico	Valor
Faixa linear (μM)	123 a 1107
Coeficiente de correlação (R ²)	0,99952
Sensibilidade (μA / μM)	0,0488
LD (µM)	1,0
LQ (μM)	3,33

Tabela 2. Recuperações de nitrito obtidas nas amostras de água

Amostra	[NO ₂ -] _{adiciona da} (µM)	[NO ₂ -] encontra da (µM)	Recuperação (%)
Am. 1	0,0	< LD	-
Am. 1	1300,0	1313,4	101,3
Am. 1	2500,0	2418,3	96,7
Am. 1	8000,0	7517,8	94,0
Am. 1	0,0	< LD	-
Am. 2	1300,0	1103,7	84,8
Am. 2	2500,0	2418,3	95,7
Am. 2	8000,0	8983,7	112,3

Conclusões

Conclui-se que o dispositivo eletroanalítico proposto é promissor para a determinação de nitrito em amostras ambientais, bem como outras diversas aplicações analíticas. Esta microcélula é sustentável pois utilizada materiais reaproveitados e requer volumes reduzidos (ordem de µL), sendo mais simples, de menor custo e mais prática do que muitas células comerciais.

Agradecimentos

FAPEMIG, CNPQ, CAPES, LAETE, IQUFU

Referências

- 1. Gałuszka, A. et al.TrAC, 2013, 50, 78.
- 2. M. J. Whittingham, R. D. Crapnell, E. J. Rothwell, N. J.

Hurst, C. E Banks, Talanta Open, 2021, vol 4, 100051.

- 3. P. A. Ferreira, R. Backes, C. A. Martins, C. T. Carvalho, R. A. B. Silva, *Electroanalysis*, **2018**, vol 30, 2233.
- 4. K.C. Bedin, E.Y. Mitsuyasu, A. Ronix, A.L. Cazetta ,O. Pezoti, V.C. Almeida, *International Journal of Analytical Chemistry*, Ed. Wiley, **2018**, 9 p.